

УДК 532.529.537.361

ЭЛЕКТРОГИДРОДИНАМИКА МОНОДИСПЕРСНЫХ ЭМУЛЬСИЙ.

1. ОСАЖДЕНИЕ ЭМУЛЬСИИ КАПЕЛЬ С ДВОЙНЫМ ЭЛЕКТРИЧЕСКИМ СЛОЕМ

© 2000 г. В. Л. Натяганов, И. В. Орешина

Московский государственный университет им. М.В. Ломоносова

119899 Москва, Воробьевы горы

Поступила в редакцию 21.04.98 г.

Рассматривается задача о стационарном осаждении монодисперсной эмульсии сферических капель с тонким двойным электрическим слоем (ДЭС) в вязкой электропроводной жидкости в поле силы тяжести. Эмульсия предполагается статистически однородной, объемная концентрация капель $c < 0.2$, а число Рейнольдса $Re \ll 1$, так что справедливы уравнения гидродинамики в приближении Стокса. Считается, что определяющим фактором для описания системы частиц является "коллективный геометрический эффект", а не электрогидродинамическое взаимодействие двух частиц, когда бинарная функция определяется из других соображений. Используется метод, основанный на анализе электрогидродинамических (ЭГД) процессов в окрестности отдельной капли с помощью аппарата обобщенных функций. Получены выражения для скорости и потенциала оседания эмульсии и, в качестве предельного случая, супензии твердых частиц.

ВВЕДЕНИЕ

Теоретическому исследованию гидродинамики эмульсий и супензий сферических частиц посвящено значительное количество оригинальных и обзорных работ [1–10]. В дисперсных системах с ДЭС на поверхности частиц движение жидкости у межфазной поверхности может оказывать решающее влияние на движение всей системы. Существующие в настоящее время теории ДЭС приводят к весьма сложным и громоздким выражениям для распределения заряда и потенциала в двойном слое, что препятствует эффективному применению полученных результатов в гетерогенной электрогидродинамике. В работе выбрана одна из простейших моделей в теории электрохимических явлений – модель тонкого ДЭС [11–13], которая позволяет не рассматривать процессы внутри ДЭС, а заменить их граничными условиями на поверхности раздела фаз. Последние однозначным образом следуют из трех фундаментальных законов сохранения: массы, количества движения и электрического заряда.

Рассмотрим выбранную модель двойного слоя подробнее. Она включает в себя следующие основные предположения [12].

1. ДЭС тонкий, то есть его толщина d много меньше радиуса частицы a : $d/a \ll 1$. Поэтому ДЭС моделируется своеобразным "конденсатором", обкладки которого находятся на молекулярном расстоянии друг от друга (см. рис. 1). Заряд одной из них равен по модулю и противоположен по знаку заряду другой. Таким образом, ДЭС в целом

электронейтрален. Форма такого конденсатора совпадает с формой поверхности частицы.

Пусть Q – суммарный заряд адсорбционного и диффузного слоев ДЭС, то есть его внешней обкладки. Тогда $(-Q)$ – заряд внутренней обкладки ДЭС. Соответственно, поверхностная плотность заряда внешней обкладки двойного слоя сферической частицы равна $q = Q/4\pi a^2$, а внутренней обкладки: $q' = -Q/4\pi a^2 = -q$. Здесь и далее штрихом “ \prime ” обозначены величины, относящиеся к области внутри капли.

2. Вне ДЭС среда считается электронейтральной, то есть за пределами ДЭС внутри и вне капли объемная плотность заряда равна нулю, а распределение электрического потенциала удовлетворяет уравнению Лапласа

$$r < a: \Delta\phi' = 0, \quad r > a: \Delta\phi = 0.$$

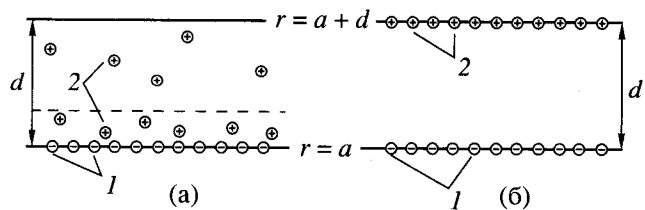


Рис. 1. Модели строения ДЭС: (а) Штерна, (б) Гельмгольца, где 1 – заряды внутренней обкладки ДЭС, 2 – заряды внешней обкладки ДЭС. Пунктиром обозначена условная граница раздела адсорбционной и диффузной частей ДЭС.

3. ДЭС идеально поляризован. Это предположение означает запрет на переход зарядов с одной обкладки двойного слоя на другую его обкладку, то есть невозможность “разрядки конденсатора” [12]. Поэтому закон сохранения заряда: $\operatorname{div} \mathbf{j} = 0$, где \mathbf{j} – плотность электрического тока, – должен выполняться отдельно в области внутри частицы с прилегающей внутренней обкладкой ДЭС, и отдельно – в области вне ее, включающей внешнюю обкладку ДЭС. Отсюда следуют граничные условия на поверхности капли [12, 14]

$$r = a: j'_n + \operatorname{div}_\theta j_\theta = 0, \quad -j_n + \operatorname{div}_\theta j_\theta = 0.$$

Индекс n означает нормальную составляющую к поверхности капли, индекс θ – касательную составляющую. В сферической системе координат, связанной с центром частицы, в силу осевой симметрии задачи касательная составляющая имеет только проекцию на ось e_θ , проекция на ось e_ϕ равна нулю. Поэтому поверхностная дивергенция равна

$$\operatorname{div}_\theta j_\theta = \frac{1}{r \sin \theta} \frac{\partial (\sin \theta j_\theta)}{\partial \theta}.$$

Так как вне ДЭС жидкость электронейтральна, то j_n может быть только током проводимости. Поэтому последние уравнения принимают вид

$$r = a: -\sigma' \frac{\partial \phi'}{\partial r} + \frac{1}{a \sin \theta} \frac{\partial (\sin \theta j'_\theta)}{\partial \theta} = 0,$$

$$\sigma \frac{\partial \phi}{\partial r} + \frac{1}{a \sin \theta} \frac{\partial (\sin \theta j_\theta)}{\partial \theta} = 0.$$

4. Поверхностный электрический ток j_θ считается конвективным. В настоящее время в литературе можно выделить два основных подхода к его учету. Первый заключается в предположении о существовании повышенной, по сравнению с объемной, поверхностной проводимости двойного слоя $\sigma_{\text{ДЭС}}$ и связанного с ней тока проводимости $j_\theta = \sigma_{\text{ДЭС}} E_\theta$, причем величина $\sigma_{\text{ДЭС}}$ зависит от конкретной модели двойного слоя [13, 15]. Второй способ основывается на предположении, что заряд двойного слоя жидкой капли переносится поверхностным гидродинамическим потоком [12]. Тогда поверхностный ток на внешней обкладке равен $j_\theta = q u_\theta$.

Так как жидкости внутри и вне капли вязкие, то для внутренней обкладки будем иметь $u'_\theta = u_\theta$. А так как ее заряд имеет другой знак $q = -q'$, то поверхностный ток здесь будет равен $j'_\theta = -q u_\theta$ (см. рис. 2).

5. Поверхностные силы на границе раздела фаз с ДЭС. Если обе фазы являются жидкими проводниками, причем проводимость одной из фаз существенно больше проводимости другой

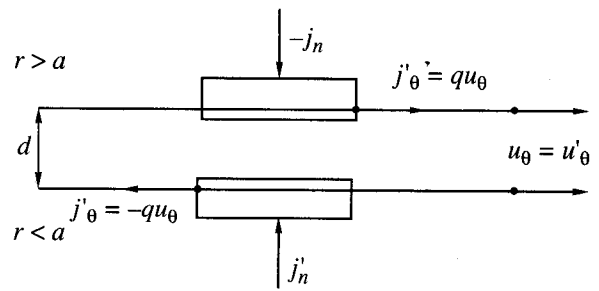


Рис. 2. Схема электрических и гидродинамических потоков на границе раздела фаз. Прямоугольниками обозначены бесконечно малые объемы сплошной среды, для которых записывается закон сохранения заряда.

(как в системе “ртутные капли–электролит”), то в балансе поверхностных усилий ролью электрических напряжений Максвелла можно пренебречь по сравнению с вязкими напряжениями и вкладом от электрокапиллярности [12, 14]. В силу предположения о сохранении каплей сферической формы, в балансе напряжений необходимо рассматривать только касательные составляющие тензора вязких напряжений с учетом электрокапиллярного члена $p_{r\theta}^e$.

Считая, что поверхностное натяжение γ связано со скачком потенциала поперек ДЭС термодинамическим соотношением Липпмана–Гельмгольца–Гиббса [11, 12, 14] $\delta\gamma = -q d\{\phi\}$, где фигурные скобки $\{\dots\}$ означают скачок потенциала поперек ДЭС, имеем

$$p_{r\theta}^e = \nabla_\theta \gamma(\{\phi\}) = \frac{\partial \gamma}{\partial \{\phi\}} \nabla_\theta \{\phi\} = -q \nabla_\theta \{\phi\}.$$

Здесь ∇_θ – поверхностный градиент: $\nabla_\theta = \frac{1}{r} \frac{\partial}{\partial \theta}$.

Далее под частицами, в том числе и жидкими каплями, понимаются частицы таких размеров, что а) для описания процессов вне и внутри них применима модель сплошной среды, и, следовательно, броуновское движение не рассматривается; б) как вне, так и внутри частицы числа Рейнольдса являются малыми: $Re = aV/\nu \ll 1$; в) поверхностное натяжение достаточно для сохранения сферической формы капель; г) величины порядка $d/a \ll 1$ во всех формулах не учитываются.

В частности, всем перечисленным условиям удовлетворяют капли ртути радиуса 3×10^{-4} – 6×10^{-2} см в растворах различных электролитов.

С помощью предложенной модели ДЭС в [12] были решены задачи об электрокапиллярном движении и оседании одиночной капли, электрофорезе и оседании одиночной твердой частицы. Получены распределения электрического потен-

циала в окрестности частиц и скорости их движения.

1. ОСАЖДЕНИЕ СФЕРИЧЕСКОЙ ЗАРЯЖЕННОЙ КАПЛИ

С учетом перечисленных выше предположений задача об ЭГД-осаждении заряженной капли в собственной системе координат с началом в ее центре описывается системой, записанной в безразмерных переменных [12, 14, 16]

$$r < 1: \Delta\phi' = 0, \quad \Delta\mathbf{u}' = \nabla p', \quad \operatorname{div} \mathbf{u}' = 0; \quad (1)$$

$$r > 1: \Delta\phi = 0, \quad \Delta\mathbf{u} = \nabla p, \quad \operatorname{div} \mathbf{u} = 0; \quad (2)$$

$$r \rightarrow 0: |\nabla\phi'| < \infty, \quad |\mathbf{u}'| < \infty, \quad |\nabla p'| < \infty;$$

$$r \rightarrow \infty: \mathbf{u} \rightarrow \mathbf{u}_0 = \mathbf{k}, \quad \nabla\phi \rightarrow 0;$$

$$r = 1: u_r = u'_r = 0, \quad u_\theta = u'_\theta = -v_0 \sin\theta, \quad (3)$$

$$\tilde{\sigma} \frac{\partial\phi'}{\partial r} + 2v_0 q \cos\theta = 0, \quad \frac{\partial\phi}{\partial r} + 2v_0 q \cos\theta = 0,$$

$$p_{r\theta} = p'_{r\theta} - q\nabla_\theta\{\phi\},$$

где расстояния r , скорости \mathbf{u} , электрический потенциал ϕ и плотность q поверхности заряда одной обкладки ДЭС приведены к безразмерному виду делением соответствующих размерных величин на a , U_0 , $U_0\sqrt{\mu/\sigma}$ и $\sqrt{\sigma\mu}$, а давление p вне и внутри капли – делением на $\mu U_0/a$ и на $\mu' U_0/a$. Здесь U_0 – величина скорости однородного потока в бесконечности, \mathbf{u}_0 – безразмерная скорость этого потока, v_0 – некоторая, неизвестная пока, величина тангенциальной скорости на поверхности раздела, μ – динамическая вязкость, σ – электропроводность, θ – угол сферической системы координат (между единичным вектором \mathbf{k} полярной оси и радиус-вектором \mathbf{r}), $p_{r\theta}$ – тензор вязких напряжений, $\tilde{\mu} = \mu'/\mu$, $\tilde{\sigma} = \sigma'/\sigma$.

В осесимметричном случае решение систем (1) и (2), соответствующее однородному натекающему потоку и граничным условиям (3), может быть представлено через электрический потенциал ϕ и функцию тока ψ [1] в следующей форме:

$$\phi = \left(\alpha r + \frac{\beta}{r^2} \right) \cos\theta;$$

$$\psi = \left(A_4 r^4 + A_2 r^2 + A_1 r + \frac{D_1}{r} \right) \sin^2\theta.$$

Однако удобнее решение вне капли искать в виде [8, 17, 18]:

$$\mathbf{u} = L(r)\mathbf{u}_0 + G(r)(\mathbf{u}_0 \cdot \mathbf{r})\mathbf{r}, \quad (4)$$

$$p = H(r)(\mathbf{u}_0 \cdot \mathbf{r}), \quad \phi = S(r)(\mathbf{k} \cdot \mathbf{r}),$$

где

$$L(r) = 4A_4 r^2 + 2A_2 + \frac{A_1}{r} - \frac{D_1}{r^3},$$

$$G(r) = -2A_4 + \frac{A_1}{r^3} + \frac{3D_1}{r^5},$$

$$H(r) = 20A_4 + \frac{2A_1}{r^3}, \quad S(r) = \alpha + \frac{\beta}{r^3}.$$

Аналогичным образом представляется решение внутри капли, где

$$L' = 4A'_4 r^2 + 2A'_2, \quad (5)$$

$$G' = -2A'_4, \quad H' = 20A'_4, \quad S' = \alpha'$$

(здесь учтено требование ограниченности физических величин при $r \rightarrow 0$).

Условиям при $r \rightarrow \infty$ можно удовлетворить, выбирая $A_4 = 0$, $A_2 = 1/2$, $\alpha = 0$. Остальные коэффициенты находятся из граничных условий при $r = 1$. В частности,

$$\beta = qv_0, \quad A_1 = \frac{2v_0 - 3}{4},$$

где дополнительная величина

$$v_0 = \frac{1}{2 \left(1 + \tilde{\mu} + \frac{q^2}{3} + \frac{2q^2}{3\tilde{\sigma}} \right)} \quad (6)$$

связана с тангенциальной составляющей скорости на поверхности капли соотношением $u_\theta = u'_\theta = -v_0 \sin\theta$.

Формальная подстановка полей (4) в систему (2) с точки зрения теории обобщенных функций [19] и учетом соотношения $\operatorname{rot} \operatorname{rot} \mathbf{u} = \nabla \operatorname{div} \mathbf{u} - \Delta \mathbf{u}$ в расширенной области с точкой $r = 0$ приводит к системе [8, 17, 18]

$$\Delta\phi = 4\pi\beta(\mathbf{k} \cdot \nabla\delta(\mathbf{r})),$$

$$\operatorname{rot} \operatorname{rot} \mathbf{u} + \nabla p = 8\pi A_1 \mathbf{u}_0 \delta(\mathbf{r}), \quad (7)$$

$$\operatorname{div} \mathbf{u} = -4\pi D_1(\mathbf{u}_0 \nabla\delta(\mathbf{r})),$$

где $\delta(\mathbf{r})$ – трехмерная дельта-функция Дирака.

Таким образом, капля единичного радиуса с ДЭС на поверхности может при $r > 1$ с точки зрения гидродинамики рассматриваться как некоторая комбинация точечной силы и диполя, помещенных в ее центр, а с точки зрения электродинамики – как электрический диполь [13, 20].

2. ВЫВОД ОСРЕДНЕННЫХ УРАВНЕНИЙ

Рассмотрим осаждение плоскопараллельного слоя однородной суспензии $N+1$ ($N \gg 1$) хаотиче-

ски, но статистически однородно распределенных сферических частиц с ДЭС на поверхности вязкой несжимаемой жидкости. Среди частиц выбирается пробная и начало системы координат совмещается с ее центром. Остальные частицы системы считаются точечными. Предполагается, что поля скорости, давления и электрического потенциала в окрестности отдельной частицы имеют вид (4), где коэффициенты зависят от объемной концентрации c и заранее неизвестны. В силу линейности задачи обтекание пробной капли в системе N точечных частиц будет описываться системой уравнений типа (7) с измененными правыми частями вида

$$4\pi \sum_{i=1}^N \beta_i (\mathbf{k} \cdot \nabla \delta(\mathbf{r} - \mathbf{r}_i));$$

$$8\pi \mathbf{u}_1 \sum_{i=1}^N A_{1i} \delta(\mathbf{r} - \mathbf{r}_i);$$

$$-4\pi \sum_{i=1}^N D_{1i} (\mathbf{u}_1 \cdot \nabla \delta(\mathbf{r} - \mathbf{r}_i)),$$

где \mathbf{r} – радиус-вектор точки наблюдения, \mathbf{r}_i соответствуют центрам частиц, а \mathbf{u}_1 – безразмерная скорость натекающего на выделенную частицу потока, отнесенная к заранее неизвестной эффективной скорости u_1 в системе точечных частиц. В силу статистической однородности коэффициенты для всех частиц равны $A_{1i} = A_1(c)$, $D_{1i} = D_1(c)$, $\beta_i = \beta(c)$.

Подчеркнем, что с точки зрения электродинамики область, занятая системой частиц, представляет собой однородно поляризованный диэлектрик с одинаково ориентированными диполями [20].

Очевидно, что в системах с большим числом частиц положение отдельной частицы может быть определено лишь с некоторой вероятностью. Поэтому появляется необходимость в нахождении плотностей вероятности или коррелятивных функций. Зная их и используя осреднение, можно перейти от исходных уравнений и граничных условий, описывающих систему жидкость–частицы, к значительно более простым осредненным уравнениям, решение которых позволяет найти нужные величины.

Применяя далее к полученным уравнениям процедуру осреднения по ансамблю возможных конфигураций с помощью бинарной коррелятивной функции $g(r)$ [21], можно для осредненных величин $\langle \mathbf{u} \rangle$, $\langle p \rangle$ и $\langle \phi \rangle$ в области $r > 1$ получить уравнения [8, 17, 18]

$$\Delta \langle \phi \rangle = 3c\beta \left[\frac{dg}{dr} + g(2)\delta(r-2) \right] (\mathbf{k} \cdot \mathbf{n}),$$

$$\text{rotrot} \langle \mathbf{u} \rangle + \nabla \langle p \rangle = 6cA_1g(r)\mathbf{u}_1, \quad (8)$$

$$\text{div} \langle \mathbf{u} \rangle = -3cD_1 \left[\frac{dg}{dr} + g(2)\delta(r-2) \right] (\mathbf{u}_1 \cdot \mathbf{n}),$$

где $g(2)$ – скачок коррелятивной функции при $r = 2$, \mathbf{n} – единичный вектор внешней нормали к поверхности сферы $r = 2$.

Коррелятивная функция такова [21], что $g(r) = 0$ при $0 < r < 2$ (так как две частицы не могут подойти друг к другу ближе, чем на расстояние двух радиусов), при $r = 2$ она имеет разрыв и вне этой области при достаточно больших r экспоненциально быстро стремится к 1 (см. рис. 3). Причем с большой степенью точности для малых c справедливо ее представление

$$g(r) = \begin{cases} 0, & r < 2, \\ 1 + c \left(8 - 3r + \frac{1}{16}r^3 \right), & 2 < r < 4, \\ 1, & r \geq 4. \end{cases}$$

Осциллирующий характер бинарной коррелятивной функции говорит о существовании зон с наиболее и наименее вероятным расположением частиц. Основную роль здесь играет геометрический эффект, связанный с непроницаемостью шаров и приводящий к послойному их расположению в окрестности произвольно выбранного шара.

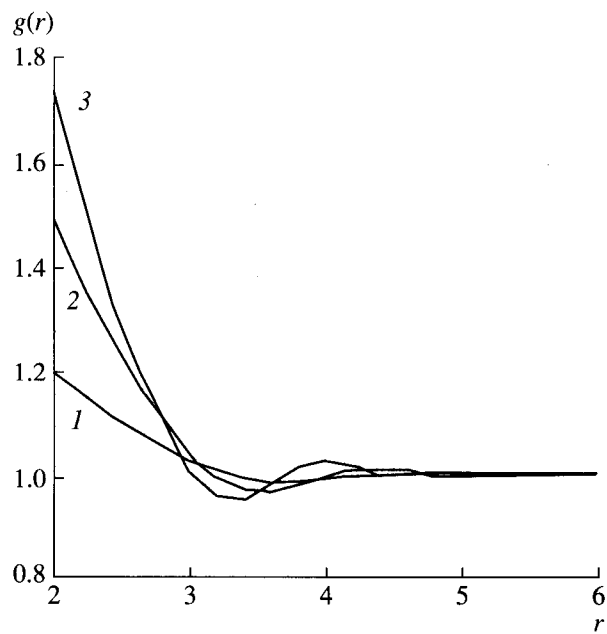


Рис. 3. Коррелятивная функция $g(r)$, численно рассчитанная в [21], при различных значениях объемной концентрации включений c : 0.06 (1), 0.12 (2), 0.2 (3).

Процедура осреднения и вывод уравнений (8) подробно описаны в работах [8, 17], а здесь лишь отметим, что для осредненных величин $\langle \dots \rangle$ в областях $r < 1$ и $1 < r < 2$ получаются системы уравнений типа (1) и (2) соответственно, и граничные условия при $r = 1$ типа (3), где \mathbf{u}_0 и v_0 надо заменить на \mathbf{u}_1 и на соответствующую ей скорость жидкости на поверхности пробной капли v_1 . В области $r > 2$ осредненные уравнения (8) приводятся к виду

$$\begin{aligned} \Delta \langle \phi^* \rangle &= 3c\beta \frac{dg}{dr}(\mathbf{k} \cdot \mathbf{n}), \\ \text{rotrot} \langle \mathbf{u}^* \rangle + \nabla \langle p^* \rangle &= 6cA_1g(r)\mathbf{u}_1, \\ \text{div} \langle \mathbf{u}^* \rangle &= -3cD_1 \frac{dg}{dr}(\mathbf{u}_1 \cdot \mathbf{n}). \end{aligned} \quad (9)$$

Таким образом, все пространство оказывается разделенным на три области: (1) $r < 1$ – частица; (2) $1 < r < 2$ – область, занятая несущей жидкостью супензии; (3) $r > 2$ – эффективная среда, содержащая точечные особенности. То есть задача о системе частиц сведена к задаче о движении одиночной частицы в некоторой эффективной среде.

При этом на поверхности разрыва плотности числа частиц $r = 2$ возникают следующие граничные условия [8, 17]:

$$\begin{aligned} \{ \langle u_\theta \rangle \} &= \{ \text{rot} \langle \mathbf{u} \rangle \} = \{ \langle p \rangle \} = \{ \langle \phi \rangle \} = 0, \\ \{ \langle u_r \rangle \} &= -3cD_1g(2)(\mathbf{u}_1 \cdot \mathbf{n}), \end{aligned} \quad (10)$$

$$\left\{ \frac{\partial \langle \phi \rangle}{\partial r} \right\} = 3c\beta g(2)(\mathbf{k} \cdot \mathbf{n}),$$

где фигурными скобками обозначен скачок $\{ \langle \dots \rangle \} = \langle \dots^* \rangle - \langle \dots \rangle$ соответствующих величин.

Для завершения математической постановки задачи необходимо поставить условия вдали от пробной капли

$$r \rightarrow \infty: \langle \mathbf{u}^* \rangle \rightarrow \mathbf{u}_1, \quad \nabla \langle \phi^* \rangle \rightarrow -3c\beta \mathbf{k}. \quad (11)$$

Условия (11) соответствуют однородному натекающему потоку в системе точечных частиц и осредненному электрическому полю в теории диэлектриков без учета диполь-дипольного взаимодействия [20, 22].

В области $r > 2$ поля $\langle \mathbf{u}^* \rangle$, $\langle p^* \rangle$ и $\langle \phi^* \rangle$ типа (4)

$$\begin{aligned} \langle \mathbf{u}^* \rangle &= L^*(r)\mathbf{u}_1 + G^*(r)(\mathbf{u}_1 \cdot \mathbf{r})\mathbf{r}, \\ \langle p^* \rangle &= H^*(r)(\mathbf{u}_1 \cdot \mathbf{r}), \quad \langle \phi^* \rangle = S^*(r)(\mathbf{k} \cdot \mathbf{r}) \end{aligned}$$

приводят к системе обыкновенных дифференциальных уравнений для определения функций L^* , G^* , H^* и S^* , общее решение которой имеет вид [8, 17]

$$\begin{aligned} L^* &= 2A_2^* + \frac{A_1^*}{r} - \frac{D_1^*}{r^3} - 3cD_1(g(r) - 1) - \\ &\quad - \int_2^r \frac{R_1(r)}{2r^2} dr - \int_2^r \frac{R_2(r)}{2r^4} dr, \\ G^* &= \frac{A_1^*}{r^3} + \frac{3D_1^*}{r^5} + \frac{R_1(r)}{2r^3} - \frac{R_2(r)}{2r^5}, \end{aligned} \quad (12)$$

$$\begin{aligned} H^* &= 6cA_1 + \frac{2A_1^*}{r^3} + 3cD_1 \frac{1}{r} \frac{dg}{dr} + \frac{R_1(r)}{r^3}, \\ S^* &= \alpha^* + \frac{\beta^*}{r^3} + 3c\beta \frac{1}{r} \int_2^r r^2(g(r) - 1) dr, \end{aligned}$$

где

$$\begin{aligned} R_1 &= \int_2^r r^2 Q(r) dr, \quad R_2 = \int_2^r r^4 Q(r) dr, \\ Q(r) &= 6cA_1[g(r) - 1] - 3cD_1 \left(\frac{d^2 g}{dr^2} + \frac{2dg}{r dr} \right). \end{aligned}$$

В области $r < 1$ поля $\langle \mathbf{u}^* \rangle$, $\langle p^* \rangle$ и $\langle \phi^* \rangle$ задаются через функции L' , G' , H' и S' по формулам (5), а в области $1 < r < 2$ – по формулам (4), где \mathbf{u}_0 следует заменить на \mathbf{u}_1 .

Все коэффициенты однозначным образом определяются из граничных условий. С точностью до линейных членов по c , в частности, имеем

$$\begin{aligned} v_1 &= v_0 \left[1 + c \left(\frac{19}{4} + v_0 \left(4q^2 - \frac{7}{2} \right) \right) \right], \\ A_1 &= \frac{2v_0 - 3}{4} + \frac{c}{16} [-69 + 88v_0 + 4v_0^2(8q^2 - 7)], \\ D_1 &= \frac{2 - v_0}{4} + \frac{c}{4} \left[\frac{107}{20} + \frac{67}{5}v_0(8q^2 - 7) \right], \\ A_2 &= \frac{1}{2} + c \left(\frac{25}{8} - \frac{9}{4}v_0 \right), \\ \alpha &= -4cq v_0, \quad \beta = q v_0 \left[1 + \frac{c}{4}(11 + 2v_0(8q^2 - 7)) \right]. \end{aligned}$$

Учет членов порядка c^2 некорректен по ряду причин, из которых укажем лишь две: 1) с точки зрения гидродинамики тогда необходимо учитывать проявление неньютоновских свойств супензии [9, 10]; 2) с точки зрения электродинамики при выводе условия (11) на $\nabla \langle \phi^* \rangle$ надо было учитывать диполь-дипольное взаимодействие частиц

между собой [22], что существенно усложняет решение задачи.

3. СКОРОСТЬ И ЭЛЕКТРИЧЕСКИЙ ПОТЕНЦИАЛ ОСАЖДЕНИЯ ЭМУЛЬСИИ

В предыдущем разделе рассматривалась математическая модель суспензии: движение пробной частицы конечного размера в эффективной среде, где все остальные частицы были заменены на точечные мультиполи. Поэтому для получения величин, характеризующих суспензию частиц конечного размера, необходима некоторая обратная процедура перехода от системы точечных частиц к системе частиц конечного радиуса. Этот переход будет осуществлен методом, предложенным в [8].

Сила, действующая на частицу в вязкой жидкости, зависит лишь от коэффициента A_1 и в размерных переменных равна [1]

$$F = -8\pi\mu a A_1 U_1.$$

Но та же сила равна сопротивлению одиночной капли с ДЭС на поверхности

$$F = 2\pi\mu a \frac{2\mu + 3\mu' + \frac{q^2}{\sigma} + \frac{2q^2}{\sigma'}}{\mu + \mu' + \frac{q^2}{3\sigma} + \frac{2q^2}{3\sigma'}} U_0.$$

Отсюда следует отношение

$$\frac{U_1}{U_0} = -\frac{1}{4A_1} \frac{2\mu + 3\mu' + \frac{q^2}{\sigma} + \frac{2q^2}{\sigma'}}{\mu + \mu' + \frac{q^2}{3\sigma} + \frac{2q^2}{3\sigma'}}.$$

Если U_p – скорость осаждения эмульсии, U_f – скорость движения жидкости в системе отсчета, где среднеобъемная скорость равна нулю

$$cU_p + (1-c)U_f = 0,$$

то введенная выше скорость натекающего потока U_1 в системе точечных частиц связана с относительной скоростью жидкости в системе частиц конечного размера соотношением [8]

$$U_f - U_p = \frac{1 + 3cD_1}{1 - c} U_1,$$

откуда

$$U_p = -(1 + 3cD_1)U_1, \quad U_f = \frac{(1 + 3cD_1)}{1 - c} U_1.$$

Приведенная скорость осаждения однородной эмульсии сферических капель с ДЭС на поверх-

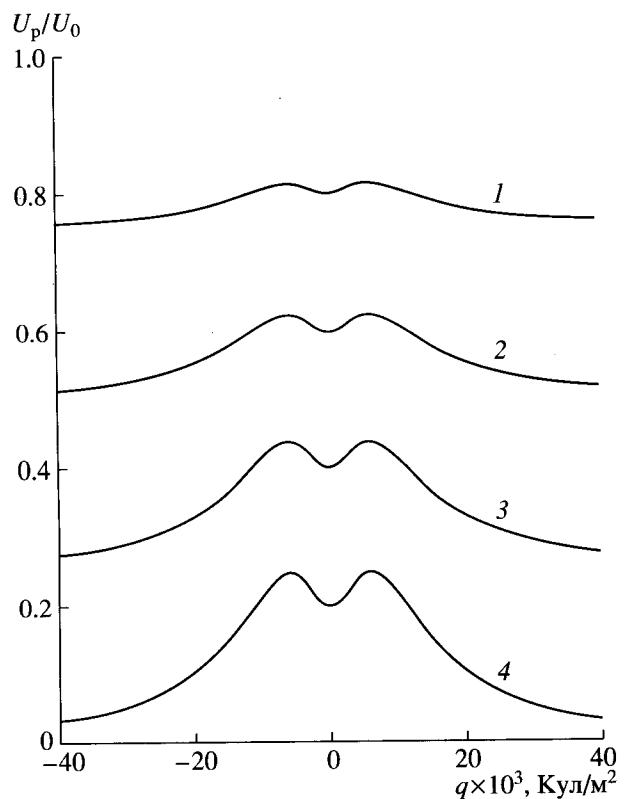


Рис. 4. Приведенная скорость осаждения U_p/U_0 как функция плотности поверхностного заряда q . $c = 0.05$ (1), 0.1 (2), 0.15 (3) и 0.2 (4).

ности с точностью до линейных членов по c равна

$$\frac{U_p}{U_0} = 1 + c \frac{\left(15\xi^2 - 8\mu\xi + \left(1 - \frac{2q^2}{\sigma\mu}\right)\mu^2\right)}{(\mu - 3\xi)\xi}, \quad (13)$$

$$\text{где } \xi = \mu + \mu' + \frac{q^2}{3\sigma} + \frac{2q^2}{3\sigma'}.$$

В частном случае $q \rightarrow 0$ формула (13) совпадает с известным результатом [8], а при $q \rightarrow \infty$ дает скорость осаждения твердых сфер.

На рис. 4 U_p/U_0 представлена как функция q и параметра c при $\mu = 0.48$ Па, $c = 10^{-3}$ Па, $\sigma = 0.66 \times 10^2$ (Ом м) $^{-1}$, $\sigma' = 10^6$ (Ом м) $^{-1}$, что соответствует ртутным каплям и раствору КBr в глицерине [12].

Расчет седиментационного потенциала осаждающихся капель по формуле [17]

$$\nabla\phi_p = \nabla\langle\phi^*\rangle - c\overline{\nabla\langle\phi\rangle} + c\overline{\nabla\langle\phi'\rangle},$$

где черта означает среднее по объему отдельной частицы, приводит в размерных переменных к выражению

$$E = \frac{3\mu qc U_0 \left(\frac{4}{3} + \frac{2\sigma}{3\sigma'} \right)}{2\sigma a \left(\mu + \mu' + \frac{q^2}{3\sigma} + \frac{2q^2}{3\sigma'} \right)}.$$

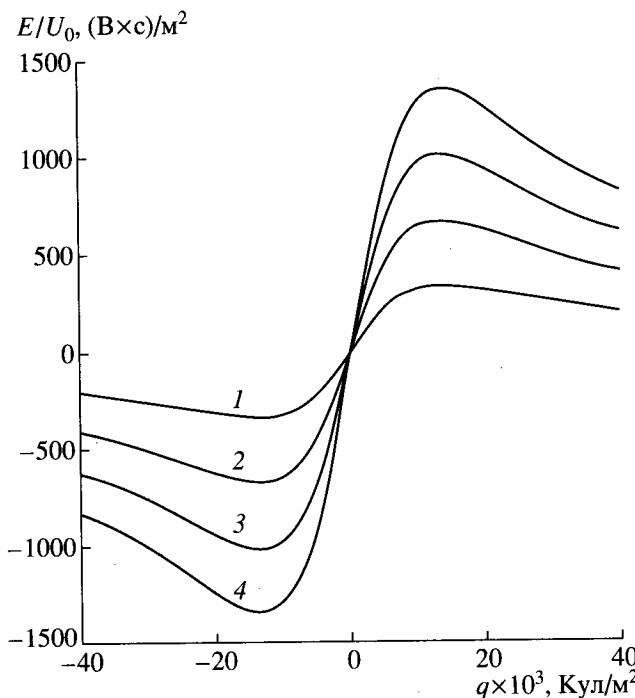


Рис. 5. Приведенный седиментационный потенциал E/U_0 как функция плотности поверхностного заряда $E/c = 0.05$ (1), 0.1 (2), 0.15 (3) и 0.2 (4).

Если пренебречь членами с σ' , то получим результат [12] с точностью до множителя $4/3$. Это различие может быть объяснено тем, что, во-первых, в данной работе рассматривается система хаотически распределенных частиц, а в [12] – их упорядоченная цепочная структура; кроме того, здесь область, занятая суспензией, является трехмерной (слой), тогда как в [12] она одномерная (столб жидкости), что сказывается на напряженности электрического поля, обусловленного поляризацией [20, 22].

На рис. 5 отношение E/U_0 представлено как функция q и параметра c при вышеуказанных значениях вязкости и электропроводности.

Авторы выражают благодарность за полезное обсуждение работы участникам научно-исследовательских семинаров под руководством академика Е.И. Шемякина на механико-математическом

ком факультете и В.В. Гогосова и В.А. Полянского в НИИ механики МГУ.

СПИСОК ЛИТЕРАТУРЫ

- Ханнель Дж., Бреннер Г. Гидродинамика при малых числах Рейнольдса. М.: Мир, 1976.
- Новое в зарубежной науке. Сер. Механика. № 22. М., 1980.
- Saffman P.G. // Stud. Appl. Math. 1973. № 52. P. 115.
- Cox R.G., Brenner H. // Chem. Eng. Sci. 1971. V. 26. № 1. P. 65.
- Буевич Ю.А., Марков В.Г. // Прикл. матем. мех. 1973. Т. 6. № 37. С. 1059.
- Buyevich Yu.A., Shchelchkova I.N. // Proc. Aerospace Sci. 1978. V. 18. № 2-A. P. 121.
- Чижов В.Е. // Вестник МГУ. 1976. № 4. С. 67.
- Головин А.М., Чижов В.Е. // Прикл. матем. мех. 1978. Т. 42. № 1. С. 105.
- Зинченко А.З. // Прикл. матем. мех. 1984. Т. 48. № 2. С. 282.
- Brady J.F., Durlofsky L.J. // J. Phys. Fluids. 1988. V. 31. № 4. P. 717.
- Дамаскин Б.Б., Петрий О.А. Электрохимия. М.: Высшая школа, 1987.
- Левич В.Г. Физико-химическая гидродинамика. М.: Физматгиз, 1959.
- Дерягин Б.В., Духин С.С. Электрофорез. М.: Наука, 1976.
- Мелчер Дж.Р. Магнитная гидродинамика. 1974. № 2. С. 3.
- Духин С.С., Шилов В.Н. Диэлектрические явления и двойной слой в дисперсных системах и полиэлектролитах. Киев: Наукова думка, 1972.
- Натяганов В.Л. Механика деформируемых сред. МГУ. 1985. С. 33.
- Головин А.М., Чижов В.Е. // Вестник МГУ. 1978. № 1. С. 89.
- Орешина И.В. Аналитические, численные и экспериментальные методы в механике. МГУ. 1995. С. 56.
- Владимиров В.С. Обобщенные функции в математической физике. М.: Наука, 1979.
- Тамм И.Е. Основы теории электричества. М., Наука, 1989.
- Головин А.М., Чижов В.Е. // Прикл. матем. мех. 1977. Т. 41. № 6. С. 1138.
- Браун В. Диэлектрики. М.: ИЛ., 1961.